

МИНИСТЕРСТВО НАРОДНОГО ОБРАЗОВАНИЯ БССР

ГОМЕЛЬСКИЙ ГОСУДАРСТВЕННЫЙ УНИВЕРСИТЕТ

82, 83

У 013

УЧЕБНО-МЕТОДИЧЕСКАЯ РАЗРАБОТКА

к курсу "Математическое моделирование вытеснения
нефти водой при эксплуатации нефтяных месторождений
для студентов геологического факультета"

Гомель 1988

РЕПОЗИТОРИЙ ГГУ

Рекомендовано к печати редакционно-издательским
советом математического факультета Гомельского
государственного университета

Автор разработки Р. В. Шибумуртов

Рецензенты: А. И. Березовик, засл. лаборатории промысла и
проектирования разработки нефтяных месторождений ГКО
Укрспироннефть, кандидат геологического минералогии; З. Г. Жогло,
зав. кафедрой инженерной геологии и гидрогеологии, почетный

ПРЕДИСЛОВИЕ

Разработка нефтяных месторождений как учебная дисциплина является одной из наиболее сложных инженерных дисциплин. В ней органически взаимодействуют решения ряда задач различного профиля из региональной геологии и гидрогеологии, физики пласта, подземной гидрогазодинамики, технологии добычи и хранения нефти, отраслевой экономики.

Нагляду с качественным анализом в этих задачах значительное внимание уделяется количественной оценке процессов, протекающих в нефтяных залежах. Основным аппаратом исследования являются математические методы с широким применением вычислительной техники.

Среди таких известных методов [разработка нефтяных месторождений как воздействие на пласт путем закачки, закачки теплоносителей, внутрипластового горения, вытеснения нефти углеводородными растворителями и полимерными растворами в настоящее время для большинства залежей страны способ поддержания пластового давления закачкой воды в нефтяные пласти при эксплуатации месторождений контурным, внутриконтурным, вложенным, очаговым заполнением] как в практике остается доминирующим. В отечественной литературе [1, 3, 5-8] рассмотрены несколько вариантов решения определенных задач при использовании различных способов зафазивания пласта и их сочетания. В их основе, как правило, предполагается равномерное размещение скважин на площади нефтегонности.

Однако на практике при решении конкретных задач разработки нефтяных месторождений, особенно применительно к залежам с трещиноватыми коллекторами, такое равномерное размещение скважин почти не наблюдается. В связи с тем что в данном курсе разрабатывается приближенный аналитико-численный метод прогнозирования основных показателей эксплуатации залежей нефти в условиях неоднородных лебитов добывающих и нагнетательных скважин и произвольного размещения их на площади нефтегонности.

РЕПОЗИТОРИЙ ГГУ

I. Моделирование исходных данных и процессов фильтрации

Наиболее распространенным способом изучения процессов эксплуатации нефтяных месторождений является создание математических моделей объекта исследования и разработка на их основе методов расчета исследуемых параметров. Конечные результаты таких исследований тесно связаны с выбором той или иной методики фильтрации пласта, которая соответствует исходным геологическим данным.

Известно, что на циклическими процессами существенного влияния оказывают неоднородность пласта по проницаемости K и значительное различие физических свойств флюидов в различных зонах (вязкость нефти μ_n и воды μ_w). Ниже рассмотрим также учет влияния каждого из этих факторов в отдельности. При этом с целью их выделения в первом случае изучение единой проницаемости другой в неоднородном пласте будем считать нерациональным – это – пласти однородными, изучение искривленности.

Нормальное прямолинейное течение нефти током из скважины неоднородного пласти

Расчет технологических показателей разработки нефтяных залежей по схеме прямолинейного движения жидкостей между двумя пограничными скважинами может быть выполнен при многородном разномерном размещении скважин. Пример такого размещения скважин изображен на рис. I.

Исследование любой залежи начинается с общей геологической характеристики месторождения: установления положения нефтяных пластов, горизонтов, водонефтяных контактов, контуров нефтепосности; определения взаимности продуктивных отложений и их физических свойств (пористости, проницаемости, неф-

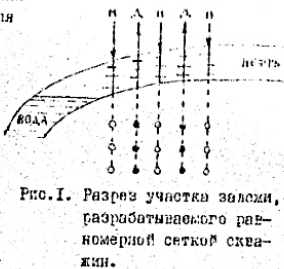


Рис. I. Разрез участка залежи, разрабатываемого разномерной сеткой скважин.

теводополнительности). При этом особое внимание уделяется установлению ряда неоднородностей продуктивного пласта. Для определения перечисленных параметров широко применяются методы производственной геофизики и лабораторные исследования кернового материала.

К числу широко распространенных в теории и практике разработки нефтяных месторождений вероятностно-статистических моделей пластов относятся однородные, неоднородные по насыщению и скважино-неоднородные модели.

Модель последнего типа характеризует слоистое строение продуктивных отложений. Она представляет собой набор слоев с различной абсолютной проницаемостью, определяемых практическими данным геофизических и лабораторных исследований по скважинам. По полученным значениям абсолютной проницаемости каждого слоя известной толщины строятся гистограммы, представляющие собой набор прямоугольников (ступенчатая фигура), основанием которых являются интервалы значений проницаемости по возрастанию, а их площади равны долевым значениям толщин слоев с соответствующими проницаемостями. Полагая, что построенная гистограмма при большом числе отдельных определений характерна для многослойного пласта в целом, аппроксимируем ее одним из известных распределений (чаще используется нормальный, логарифмически нормальный и гамма-распределения проницаемости).

Плотность нормального закона распределения проницаемости

$$f(K) = \frac{1}{\sigma \sqrt{2\pi}} \exp\left(-\frac{(K-\bar{K})^2}{2\sigma^2}\right),$$

где \bar{K} – средняя проницаемость пласта, σ – параметр. Здесь $-\infty < K < \infty$. Поэтому с определенной погрешностью полагают, что проницаемость может быть отрицательной и бесконечной. Закон нормального распределения проницаемости (закон Гуда) имеет вид

$$F(K) = \int_{-\infty}^K f(K) dK = \int_{-\infty}^0 f(K) dK + \int_0^K f(K) dK = \frac{1}{2}(1 + \operatorname{erf}\left(\frac{K-\bar{K}}{\sigma\sqrt{2}}\right)),$$

где табулированный интеграл $\operatorname{erf} u = \frac{2}{\sqrt{\pi}} \int_0^u \exp(-u^2) du$

называется функцией вероятности.

Математическое ожидание проницаемости $M(K) = \int_0^{\infty} K f(K) dK = \bar{K}$.
Дисперсия $D(K) = \int_0^{\infty} (K - \bar{K})^2 f(K) dK = \sigma^2$. Отсюда $\sigma = \sqrt{D(K)}$.

Плотность, закон, математическое ожидание при логарифмическом нормальном распределении проницаемости записуются в виде

$$f(K) = \frac{1}{K\sigma\sqrt{2\pi}} \exp\left(-\left(\ln\frac{K}{\bar{K}}\right)^2/2\sigma^2\right), \quad 0 < K < \infty; \quad (I.1)$$

$$F(K) = \int_0^K f(x) dx = \frac{1}{2} \left(1 + \operatorname{erf}\left((\ln\frac{K}{\bar{K}})/\sigma\sqrt{2}\right)\right); \quad M(K) = \bar{K} \exp\frac{\sigma^2}{2}.$$

Аналогичные выражения при гамма-распределении можно найти в [2].

$$f(K) = K^{\alpha-1} \exp\left(-\frac{K}{\bar{K}}\right)/\Gamma(\alpha)\bar{K}^\alpha, \quad 0 < K < \infty, \quad F(K) = \int_0^K f(x) dx = \frac{1}{\Gamma(\alpha)} \int_0^{K/\bar{K}} t^{\alpha-1} e^{-t} dt.$$

$$M(K) = \int_0^{\infty} K f(K) dK; \quad M(K) = \int_0^{\infty} K f(K) dK = \alpha \bar{K}.$$

Заметим, что такой же подход к оценке параметров статистического описания проницаемости имеет место в приложении к анализу (или проверке) неоднородности пластика.

Пример I. В Ю скважинах, расположенных в однотипной скважине-неоднородный пласт, промысловое-геологические данные и исследованические образцы горных пород (первоначально определены последовательные значения абсолютной проницаемости) приведены в таблице. Площадь залежи скважинного пласта в Ю скважинах составляет 240 м². На полученные результаты измерения проницаемости работы из Ю скважин с одноклассом макки (дК = 0,2 мкм²) в таблице в табл. 2 имеются с данными о том, каким образом эти значения были получены в пределах соответствующего интervала проницаемости.

Составить параметры вероятностно-статистического описания проницаемости, если известно, что с достаточной точностью для практических распределений ограничимся квадратичной нормальными.

Решение. На рис. 1 по данным табл. 1 построено гистограмма, определяющая вероятностное распределение абсолютной проницаемости пропластка скважинного пласта. Решение решают-

Таблица 1.

Номер скважины	Математическое ожидание K										
	0-0,2	0,2-0,4	0,4-0,6	0,6-0,8	0,8-1,0	1,0-1,2	1,2-1,4	1,4-1,6	1,6-1,8	1,8-2,0	
1	7,3	12,2	1,4	0	1,5	0,4	1,1	0	0	0,1	1,7
2	1,9	6,2	2,7	7,1	2,3	1,3	0,2	0,3	0	0,1	2,4
3	0	17,8	4,5	5,4	0,6	0,5	0,4	0,2	0	0	1,5
4	2,4	0	1,1	3,4	0	0,7	0,1	0,2	0	1,6	
5	2,3	0	12,6	0,8	0,8	0	0,1	1,2	0	0,3	2,9
6	3,6	8,4	14,2	4,1	0,3	3,1	0,2	0,2	0	0	0,1
7	0	5,5	7,3	0	1,3	1,1	0	0	1,2	0	0
8	5,1	15,6	4,4	3,2	0,6	0,7	0,5	0,2	0	0,2	0,5
9	2,9	14,2	3,9	3,3	0,9	0,4	0,9	0,4	0	0	0
10	0,9	3,4	3,0	4,1	3,2	0,6	0,5	0,1	0	0,2	0,6
Общая гомогенность пропластков, м	26,4	86,4	54,2	29,1	14,9	8,1	4,6	2,7	1,4	0,9	II,3
Доверие значимости от испытаний											
один, относительная	0,55	1,8	1,125	0,6	0,3	0,2	0,1	0,05	0,03	0,02	0,02
не менее средняя проницаемость											

РЕПОЗИТОРИЙ ГУИИ

риваемой задачи сводится к подбору таких параметров δ и K , чтобы теоретическая кривая плотности логарифмически нормального распределения проницаемости (1.1) наилучшим образом аппроксимировала практический заданный гистограмму. В данном примере с такими значениями параметров является $\delta = 0,665$, $K = 0,4 \text{ мкм}^2$. Таким образом, искомая зависимость имеет вид

$$f(K) = \frac{1}{0,665 K \sqrt{2\pi}} \exp\left(-\left(\frac{K - K_0}{0,4}\right)^2 / 0,884\right).$$

При изучении поршневого вытеснения нефти водой из слоисто-неоднородного пласта рассмотрим этот процесс в отдельном i -ом прямолинейном слое (пропластке), когда между начальным фронтом $x=0$ и последним $x=\ell$ галережки (соответственно с давлениями P_1, P_2) поддерживается постоянный перепад пластового давления ($\Delta P = P_1 - P_2 = \text{const}$). Схема такого процесса изображена на рис.3. Поскольку жидкости несжимаемы, то их расход $q_i(t)$ на входе и выходе имеет одинаковую зависимость от времени t .

Внеграница вытеснения $x_{ei}(t)$ имеет постоянные значения остаточной нефтенасыщенности S_{nast} ($0 \leq x < x_{ei}$), остаточной воды S_{ew} ($0 \leq x < \ell$) и суммарный объем внедривающейся воды

$$\Delta v_i = m \delta h_i (1 - S_{nast} - S_{ew}) x_{ei},$$

где m, δ, h_i — пористость, ширина и толщина пропластка.

Производная от суммарного объема равна расходу воды

5

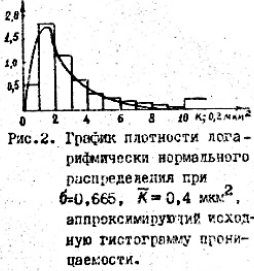


Рис.2. График плотности логарифмически нормального распределения при $\delta=0,665$, $K=0,4 \text{ мкм}^2$, аппроксимирующий исходную гистограмму проницаемости.

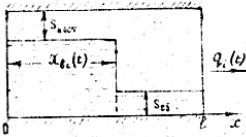


Рис.3. Схема поршневого вытеснения нефти водой из i -го пропластка.

$$q_{ei} = m \delta h_i (1 - S_{nast} - S_{ew}) \frac{dx_{ei}}{dt},$$

поступающей в i -ый пропласток. Этот же расход может быть вычислен, используя закон Дарси

$$\vec{v}_{ei} = - \frac{K_i}{\mu_w} \operatorname{grad} P_i, \quad (1.2)$$

где \vec{v}_{ei} — скорость фильтрации, μ_w — вязкость воды. В нашем случае $|\operatorname{grad} P_i| = \frac{P_1 - P_{ei}}{x_{ei}}$ (P_{ei} — значение давления P на фронте вытеснения x_{ei}).

Используя выражения для относительных проницаемостей воды и нефти

$$K_w = \frac{K_{nf}}{K}, \quad K_n = \frac{K_{nw}}{K} \quad (1.3)$$

(K_{nf} , K_{nw} — фазовые проницаемости для воды и нефти, K — абсолютная проницаемость пласта), имеем иную запись для расхода воды

$$q_{ei} = v_{ei} S_i = \frac{K_w K_i}{\mu_w} \frac{P_1 - P_{ei}}{x_{ei}} \mu_w \delta.$$

Аналогично для нефтяной фазы имеем

$$q_{ni} = v_{ni} S_i = \frac{K_n K_i}{\mu_n} \frac{P_{ei} - P_1}{\ell - x_{ei}} \mu_n \delta$$

(μ_n — вязкость нефти). Учитывая несжимаемость жидкостей, из последних двух соотношений получим P_{ei}

$$q_{ei} = q_{ni} = K_i \mu_i \delta \Delta P / \left(\frac{\mu_n}{K_n} \ell + \left(\frac{\mu_n}{K_n} - \frac{\mu_w}{K_w} \right) x_{ei} \right). \quad (1.4)$$

Приравнив правые части двух форм записи формулы для расхода воды, поступающей в i -й пропласток, имеем дифференциальное уравнение

$$\left(\frac{\mu_n}{K_n} \ell + \left(\frac{\mu_n}{K_n} - \frac{\mu_w}{K_w} \right) x_{ei} \right) \frac{dx_{ei}}{dt} = \frac{K_i \Delta P}{m(1 - S_{nast} - S_{ew})},$$

9

закономерное продвижение фронта вытеснения

$$x_{st} = \frac{m_h \ell (1 - \gamma_1 - \gamma_K t)}{\gamma_K (m_h/m_n - m_o/k_0)}, \quad \gamma = \frac{2 \Delta P (m_h/m_n - m_o/k_0) K_n^2}{m (1 - s_{nact} - s_{cb}) m_h^2 \ell^2}, \quad (I.5)$$

иначе с $x_{st} = 0$ при $t = 0$.

Последняя формула позволяет вычислять время обводнения данного пропластка, если известна его проницаемость. В частности, если $K_L = \tilde{K}$, тогда при $x_{st} = \ell$ имеем

$$\ell = m_h^2 (1 - s_{nact} - s_{cb}) \left(\frac{m_h}{K_n} + \frac{m_o}{k_0} \right) / 2 \tilde{K} \Delta P. \quad (I.6)$$

При учете вероятностно-статистического распределения пропластков по проницаемости суммарная толщина \tilde{h} слоев с проницаемостью $K > \tilde{K}$ (не выше \tilde{K}) определяется согласно соответствующему закону распределения проницаемости $\tilde{h}/\ell = f(\tilde{K})$,

где \tilde{h} — общая толщина олиготрого пласта. Дифференциальная форма

этой зависимости выражается через вероятностно-статистическую

плотность распределения проницаемости

$$\frac{d\tilde{h}}{\ell} = f'(\tilde{K}) d\tilde{K} = f(\tilde{K}) d\tilde{K}.$$

Отсюда для общей записи имеем

$$d\tilde{h} = h f(K) dK. \quad (I.7)$$

Используя ранее полученные соотношения (I.4), (I.5), запишем формулу для элементарного расхода жидкости

$$dq = \frac{K_h K_b \Delta P h f(K) dK}{m_h \ell \sqrt{1 - \gamma_K t}},$$

поступающего в некоторые слои толщиной $d\tilde{h} = h f(K) dK$, проницаемость которых не выше K .

Согласно теории поршневого вытеснения, к моменту времени $t = \ell$, когда обводняются все слои с проницаемостью $K > \tilde{K}$, нефть можно добывать лишь из слоев с проницаемостью $K < \tilde{K}$. Поэтому для дебита нефти, добываемого из слоисто-неоднородного пласта, имеем

IO

$$q_n(t) = \int_0^{\tilde{K}} dq = \frac{K_h b \Delta P}{m_h \ell} \int_0^{\tilde{K}} \frac{K f(K)}{\sqrt{1 - \gamma_K t}} dK. \quad (I.8)$$

Вода же добывается лишь из обводнившихся пропластков.

Используя закон Дарси при расчете элементарного расхода жидкости dq_s через сечение $b \delta h$, для дебита воды из выхода из обводнившихся слоев имеем

$$q_s(t) = \int_0^{\infty} dq_s = \frac{K_w}{m_h} \frac{b \Delta P}{\ell} \int_0^{\infty} \frac{K f(K)}{\sqrt{1 - \gamma_K t}} dK. \quad (I.9)$$

Текущая обводненность γ добываемой продукции вычисляется по формуле

$$\gamma(t) = \frac{q_s(t)}{q_n(t)} = \frac{q_s(t)}{q_s(t) + q_n(t)}. \quad (I.10)$$

Следующим выражением показателей разработки нефтяной залежи является текущая нефтеотдача, определяемая как отношение накопленной добычи нефти к ее геологическим запасам

$$\eta(t) = \frac{Q_n(t)}{V_n} = \frac{Q_{n1}(t) + Q_{n2}(t)}{V_n}, \quad (I.11)$$

где Q_{n1} , Q_{n2} — добыча нефти из обводнившихся и необводнившихся пропластков слоисто-неоднородного залежи.

Накопленную добычу нефти $Q_n = Q_{n1} + Q_{n2}$ можно вычислить двумя способами, а именно: по формуле

$$Q_n(t) = \int_0^t q_n(\tau) d\tau, \quad (I.12)$$

где для дебита нефти имеем (I.8), или же по неприменимым формулам для Q_{n1} , Q_{n2} , которые получены с учетом того, что к некоторому моменту $t = \ell$ обводняются пропластки, имеющие проницаемость $K > \tilde{K}$ и суммарную толщину $\tilde{h} = \int_0^{\tilde{K}} f(K) dK$. Исходя из последнего, количество нефти, извлеченное из обводнившихся пропластков вычисляется по формулам

$$Q_{n1} = m_h \ell (1 - s_{nact} - s_{cb}) h \int_0^{\tilde{K}} f(K) dK, \quad (I.13)$$

II

РЕПОЗИТОРИЙ ГРУИМЛ

$$Q_{\text{нз}} = \int_{K-K}^K m b x_B (1 - S_{\text{неф}} - S_{\text{вд}}) dK = m b (1 - S_{\text{неф}} - S_{\text{вд}}) \bar{K} \int_0^{\bar{K}} x_B f(K) dK, \quad (\text{I.14})$$

где положение фронта вытеснения x_B определяется по формуле (I.5).

Геологические запасы представляют в виде объема

$$V_H = m b C_h (1 - S_{\text{вд}}), \quad (\text{I.15})$$

приходящегося на залегающую нефть в рассмотриваемом нефтегазовом скоплении однородном пласте. Здесь C_h — общая нефтеносимость залежи, b — охваченная залежью толщина.

Заметим, что в предыдущих формулах для удобства изложения пристость слагающих пропластков считалась всюду одинаковой. В случае вероятностно-статистического распределения пористости по склонам для последних также спрэделимы модели, которые были использованы при изучении нестационарности пласта по проницаемости.

Пример 2. Эксплуатируемый участок продуктивного скопления однородного пласта по проницаемости имеет размеры $\ell = 500$ м, $\delta = 400$ м, общую недренносыщенную толщину $K_o = 18,75$ м, охваченную залежью толщину $K = 15$ м (коэффициент охвата $\gamma = K/K_o = 0,8$). Абсолютная проницаемость K пропластков описывается логарифмически нормальными законом с плотностью распределения (I.1). При этом средняя проницаемость $\bar{K} = 0,4$ м 2 , $\sigma = 0,665$. Пористость всех пропластков $m = 0,2$ всюду одинакова, насыщенность связанный водой $S_{\text{вд}} = 0,1$, вязкость нефти в пластовых условиях $\mu_n = 2$ м Па с, вязкость воды $\mu_w = 1$ Па с. Считается, что вытеснение нефти водой из отдельных пропластков происходит согласно схеме прямолинейного порожевого вытеснения, причем остаточная нефтеносимость $S_{\text{неф}} = 0,45$, относительные проницаемости для нефти впереди фронта вытеснения $K_n = 1$, для воды позади фронта $K_w = 0,5$. Распределение этих величин для всех пропластков всюду одинаково. Разработка участка залежи осуществляется при постоянном перепаде давления $\Delta P = P_1 - P_2 = 0,375$ МПа между линиями нагнетания и отбора.

Требуется рассчитать следующие показатели разработки: содержимость продукции $\Psi(t)$ и текущую нефтеотдачу участка залежи $\gamma(t)$.

Решение. Формулы (I.8)–(I.14) содержат интеграл вида

$$\int_{K-K}^K K f(x) dx, \quad \text{так как по условию задачи } \frac{M_n}{K_n} - \frac{M_w}{K_w} = 0 \text{ и, следовательно, из (I.5) } \Psi = 0. \text{ Преобразуем этот интеграл, когда } f(x) \text{ задается в виде (I.1).}$$

Введя замену переменной интегрирования $\xi = (K - x)/\sqrt{K}$,

$$\text{имеем } \int_{K-K}^K K f(x) dx = \int_{-\infty}^0 \exp(-\frac{x^2}{2K}) dx = \frac{\sqrt{K}}{\sqrt{2\pi}} \int_{-\infty}^0 \exp(-\xi^2/2) d\xi =$$

$$= \frac{\sqrt{K} \exp(\frac{\delta^2}{2})}{\sqrt{2\pi}} \int_{-\infty}^0 \exp(-(\xi - \frac{\delta}{\sqrt{K}})^2) d\xi = \frac{\sqrt{K}}{2} (1 + \Phi(\lambda\sqrt{2})) \exp(\frac{\delta^2}{2}),$$

$$\text{где интеграл вероятности } \Phi(\lambda\sqrt{2}) = \exp(-\lambda^2/2), \sqrt{2}\lambda = \frac{\delta}{\sqrt{K}}, \sigma = \frac{\delta}{\sqrt{K}}.$$

Таким образом, из (I.1), (I.5), (I.8)–(I.15) при $\Psi = 0$

$$(M_n/K_n - M_w/K_w = 0) \text{ получим } Q_n(t) = A \frac{K_n}{\bar{K}} (1 + \Phi(\lambda\sqrt{2})), Q_w(t) = A \frac{K_w}{\bar{K}} (1 - \Phi(\lambda\sqrt{2})), \Psi(t) = \frac{A}{2} (1 - \Phi(\lambda\sqrt{2})),$$

$$\gamma(t) = \frac{\gamma(1 - S_{\text{неф}} - S_{\text{вд}})}{2(1 - S_{\text{вд}})} (1 - \Phi(\lambda\sqrt{2})) + \frac{Q_w(t) \Psi t}{m b C_h (1 - S_{\text{вд}})}, A = \frac{\bar{K} \delta \delta \Delta P}{2} \exp(\frac{\delta^2}{2}).$$

Независимой переменной в этих формулах является время t .

Задавшись значением времени $t = \tilde{t}$, по формуле (I.5) определим проницаемость \bar{K} пропластка

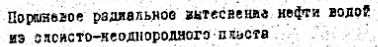
$$\bar{K} = m \ell^2 (1 - S_{\text{неф}} - S_{\text{вд}}) \left(\frac{M_n}{K_n} + \frac{M_w}{K_w} \right) / 2 \tilde{t} \Delta P = \\ = 0,2 (1 - 0,45 - 0,1) 4 \cdot 10^{-3} (500)^2 / 2 \cdot 3,75 \cdot 10^8 \tilde{t} = \frac{42 \cdot 10^{-5}}{3} \text{ м}^2,$$

обозначившегося к моменту времени \tilde{t} . Далее, заменяя аргументы $\alpha = \frac{\delta}{\sqrt{K}} \ln \frac{\bar{K}}{K}$, $\lambda = \alpha - \frac{\delta^2}{72}$, по табличным интегралам вероятности находим значения $\Phi(z) = \int_0^z \exp(-\frac{x^2}{2}) dx$, используемые в окончательных формулах для обводненности продукции $\Psi(\tilde{t})$ и текущей нефтеотдачи $\gamma(\tilde{t})$.

По результатам расчета на рис. 4 построим графики для об-

водоизноса продукции и нефтеотдачи пластов в зависимости от времени t . Наблюдается резкий рост водоизноса добываемой продукции в первые годы эксплуатации залежи в последующие годы замедляется. Для нефтеотдачи характерно равномерное увеличение $\eta(t)$ примерно на 40% к 20 годам эксплуатации залежи.

Рис.4. Изменение обводненности продукции $\delta(t)$ и нефтеотдачи $\eta(t)$ в зависимости от времени t .



Поршневое радиальное вытеснение нефти водой из скисто-неоднородного пласта

Аналогично предыдущему пункту рассмотрим осесимметричное радиальное вытеснение нефти из кругового $0 \leq r \leq R$ скисто-неоднородного по проницаемости K продуктивного пласта радиуса R , мощности h , пористости m путем закачки воды в нагнетательную скважину радиуса r_c , размещенную в центре области фильтрации. Перепад пластового давления $\Delta P = P_1 - P_2$, разный разности между его значениями на скважине $P(r_c, t) = P_1$ и на границе пласта $P(R, t) = P_2$, также считается постоянным.

Согласно закону фильтрации (1.2), (1.3), расход воды q_{el} , поступающей через сечение $2\pi r h_i$ в момент времени t в i -й пропласток с абсолютной проницаемостью K_i , толщиной h_i , определяется формулой

$$q_{el} = -\frac{K_i K_i}{\mu e} \frac{dp}{dr} 2\pi r h_i.$$

Полагая, что фронт поршневого вытеснения продвинулся на расстояние $r = r_{el}(t)$, и используя условия $p(r_c, t) = P_1$, $p(R, t) = P_2$ при интегрировании последнего выражения методом разделяния переменных, получим

$$q_{el} \ln \frac{r_{el}}{r_c} = \frac{K_i K_i}{\mu e} 2\pi h_i (P_1 - P_{el}).$$

Аналогично для нефти, движущейся впереди фронта вытеснения $r_{el}(t) < r < R$, имеем

14

$$q_{ni} \ln \frac{R}{r_{el}} = \frac{K_n K_i}{\mu n} 2\pi h_i (P_{el} - P_2).$$

Используя условие несжимаемости жидкостей ($q_{el} = q_{ni}$), исключим из этих выражений неизвестную величину давления P_{el} на фронте вытеснения $r_{el}(t)$:

$$q_{el} = q_{ni} = 2\pi K_i h_i \Delta P / \left(\frac{K_i}{K_n} \ln \frac{r_{el}}{r_c} + \frac{K_n}{K_i} \ln \frac{R}{r_{el}} \right). \quad (1.18)$$

Как и прежде выражение для расхода воды может быть получено из уравнения материального баланса

$$q_{el} dt = 2\pi r_{el} h_i m (1 - S_{not} - S_{cb}) dr_{el}.$$

Из двух соотношений для расхода воды, поступающей в i -й пропласток, получим дифференциальное уравнение для $r_{el}(t) = r_{el}(t)/r_c$:

$$\left(\frac{K_i}{K_n} - \frac{K_n}{K_i} \right) \ln r_{el} + \frac{K_n}{K_i} \ln \frac{R}{r_c} \frac{dr_{el}}{dt} = \frac{K_i \Delta P dt}{r_c^2 m (1 - S_{not} - S_{cb})}.$$

Результат интегрирования этого уравнения

$$\left(\frac{K_i}{K_n} - \frac{K_n}{K_i} \right) \left(\beta \left(\ln r_{el} - \frac{1}{2} \right) + \frac{1}{2} \right) + \frac{K_n}{K_i} \ln \frac{R}{r_c} \left(\beta^2 - \frac{1}{2} \right) = \frac{2 K_i \Delta P t}{r_c^2 m (1 - S_{not} - S_{cb})} \quad (1.19)$$

позволяет следить за фронтом воды $r_{el}(t)$, вытесняющей нефть из i -го пропластка, начиная с $r_{el} = r_c$ ($\beta = \frac{r_{el}}{r_c} - 1$) при $t = 0$.

По этой же формуле можно определять величину абсолютной проницаемости K пропластка, ободнавшегося в момент времени t . Действительно, полагая $t = \tilde{t}$, $r_{el} = R$ ($\beta = \frac{r_{el}}{R} = R/r_c$), получим

$$\tilde{t} = \frac{r_c^2 m (1 - S_{not} - S_{cb})}{2 \Delta P} \left(\frac{K_i}{K_n} - \frac{K_n}{K_i} \right) \left(\beta \left(\ln \frac{R}{r_c} - \frac{1}{2} \right) + \frac{1}{2} \right) + \frac{K_n}{K_i} \left(\beta^2 - \frac{1}{2} \right) \ln \frac{R}{r_c}. \quad (1.20)$$

15

Влияние слоисто-неоднородности продуктивного пласта, описываемое одним из известных вероятностно-статистических законов распределения $F(K)$ (плотностью $f(K)$) проницаемости K , на основании показателей разработки круговой залежи учитывается также как и при выводе формул (I.8)-(I.17). Используя для элементарной толщины слоя dh зависимость (I.7), из (I.18) получим формулы для дебита нефти, воды и для обводненности добываемой продукции

$$q_n(t) = 2\pi K h \rho \int_0^{\infty} \frac{K f(K) dK}{(\frac{r_n - r_a}{K_n}) h \rho + \frac{K_n}{K_n} \ln \frac{R}{r_n}}, \quad (I.21)$$

$$q_w(t) = \frac{2\pi K_n h \rho}{K_n h \rho} \int_0^{\infty} K f(K) dK, \quad v(t) = \frac{q_w(t)}{q_n(t) + q_w(t)}. \quad (I.22)$$

При изучении текущей нефтедобычи кругового пласта воспользуемся формулой

$$\eta(t) = \int_0^t q_n(t) dt / \pi R^2 h_0 m (1 - S_{ce}), \quad (I.22)$$

где h_0 — общая нефтенасыщенная толщина исследуемой залежи.

Неприменимое прямолинейное вытеснение нефти водой из однородного пласта

В отличие от ранее рассмотренных случаев будем считать, что за фронтом вытеснения $x_g(t)$ (см. рис.5) относительные проницаемости $K_n(s)$, $K_g(s)$ для нефти и воды (I.3) зависят от водонасыщенности S . Это связано с тем, что при неприменимом вытеснении одной жидкости другой всегда существует область двухфазного потока

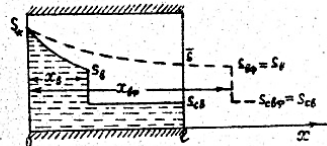


Рис.5. Реопределение водонасыщенности S при неприменимом вытеснении нефти водой в безводный (сплошная линия) и водный (пунктирная линия) периоды разработки.

$0 \leq x \leq x_g$. Из результатов обработки многочисленных экспериментальных данных следует, что кривые относительных проницаемостей (см. рис.6) наилучшим образом аппроксимируются степенными зависимостями вида

$$K_n(s) = \left(\frac{s_n - s}{s_n - S_{ce}} \right)^m, \quad K_g(s) = \left(\frac{s - S_{ce}}{1 - S_{ce}} \right)^n, \quad (I.23)$$

где S_{ce} — насыщенность связанный водой, S_n — значение водонасыщенности, мгновенно устанавливющееся на выходе в пласт (см. рис.5).

Рассмотрим элемент однородного пласта длиной Δx , шириной b , толщиной h . При прямолинейном напористиковом вытеснении нефти водой доли оси x в элементе пласта входит вода с расходом $b h v_g$, где v_g — скорость фильтрации воды (см. (I.2), (I.3), (I.23)), в расход интекции воды равен

$$b h v_g(x+ax, t) \approx b h (v_g + \frac{\partial v_g}{\partial x} \Delta x)$$

Разность между этими расходами $-b h \frac{\partial v_g}{\partial x} \Delta x$ обусловлена изменением водонасыщенности S в элементарном объеме пор $m b h \Delta x$ (m — пористость пласта), следовательно, равна $m b h \Delta x \frac{\partial S}{\partial t}$ (t — время). Приравнивая эти величины (согласно закону сохранения массы вещества), после деления на Δx получим дифференциальное уравнение в частных производных

$$\frac{\partial v_g}{\partial x} + m \frac{\partial S}{\partial t} = 0, \quad (I.24)$$

которое также принято называть уравнением неразрывности для водной фазы.

Учитывая, что в области двухфазного потока в элемент пласта втекает как нефть, так и вода, для нефтяной фазы аналогично получим $\frac{\partial v_n}{\partial x} + m \frac{\partial S_n}{\partial t} = 0$. Или выражая нефтенасыщенность

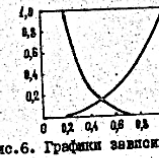


Рис.6. Графики зависимости относительных проницаемостей для нефти K_n и воды K_g от водонасыщенности S .

$S_n = 1 - S$ через водонасыщенность S , имеем

$$\frac{\partial V_n}{\partial x} - m \frac{\partial S}{\partial t} = 0. \quad (1.25)$$

Из результата сложения двух последних уравнений $\frac{\partial}{\partial x}(V_b + V_n) = 0$ следует, что суммарная скорость $V_b + V_n = V(t)$ несжимаемых жидкостей не зависит от координаты x и по характеру движущихся при вытеснении нефти водой режим пласта в данном случае является жестким водонапорным.

Формулы (1.2), (1.3), (1.23) для случая прямоодинейного потока нефти заменяются в виде

$$V_b = -\frac{K K_b(S)}{f'_b} \frac{\partial p}{\partial x}, \quad V_n = -\frac{K K_n(S)}{f'_n} \frac{\partial p}{\partial x}, \quad (1.26)$$

где K – абсолютная проницаемость однородного пласта; $p(x, t)$ – функция пластового давления; f'_b, f'_n – вязкости воды и нефти.

Обозначив $\psi(x, t)$ фильтрационного потока в любом сечении x пласта выражим через функцию Бакли-Леверетта

$$\psi(x, t) = \frac{V_b(x, t)}{V(t)} = \frac{V_b}{V_b + V_n} = \frac{K_b(S)}{K_b(S) + f'_b K_n(S)/f'_n} = f(s). \quad (1.27)$$

Отсюда $V_b = V(t) f(s)$, $\frac{\partial V_b}{\partial x} = V(t) f'(s) \frac{\partial s}{\partial x}$. Подставив это в (1.24), получим дифференциальное уравнение в частных производных первого порядка относительно неизвестного распределения в пласте водонасыщенности

$$V(t) f'(s) \frac{\partial s}{\partial x} + m \frac{\partial s}{\partial t} = 0.$$

Последнее уравнение можно разрешимо методом характеристик. Действительно, для любого фиксированного $S = \text{const}$, сравнивая $ds = \frac{\partial s}{\partial x} dx + \frac{\partial s}{\partial t} dt = 0$ с исходным уравнением, имеем характеристическое уравнение $\frac{V(t) f'(s)}{m} = \frac{dx}{dt}$.

Отсюда после разделения переменных, умножив на $6h$ и интегрировав, получим количество вытесненной в пласт воды

18

за время t пройти до сечения x с фиксированным значением $S = \text{const}$

$$Q_s(t) = \int_0^t 6h V(t) dt = \frac{6h m x}{f'(s)}. \quad (1.28)$$

Это же количество воды можно вычислить с учетом распределения водонасыщенности $S(x, t)$ вдоль пласта от $x=0$ до $x=x$

$$Q_s(t) = 6h m \int_0^x S(x, t) dx = 6h m x S_{ce},$$

где S_{ce} – насыщенность пласта сдавленной водой.

Применив к правые части двух формул после деления на $m \delta h$ получим уравнение

$$\frac{x}{f'(s)} = \int_0^x S(x, t) dx - x S_{ce}.$$

для нахождения положения точки x с водонасыщенностью $S = \text{const}$.

Используя первую формулу для вычисления объема внедрившейся воды (1.28) $x = \frac{a_0}{m \delta h} f'(s)$, $dx = \frac{a_0}{m \delta h} f''(s) ds$, выражим последнее уравнение через водонасыщенность S , соответствующую положению точки x ,

$$1 = \int_0^s s f''(s) ds - f'(s) S_{ce},$$

S_{ce} – значение водонасыщенности на входе ($x=0$) в пласт.

Давши интегрирование по частям, получим

$$1 = f'(s)(s - S_{ce}) - S_{ce} f'(s) + f'(S_{ce}) - f(s).$$

Поскольку из (1.23), (1.27) при $S = S_x$ имеем $K_n(S_x) = 0$, $f'(S_x) = 1$, $f'(S_{ce}) = 0$, то последнее уравнение упрощается

$$1 = f'(s)(s - S_{ce}) + 1 - f(s). \quad (1.29)$$

В частности, обозначив водонасыщенность $S = S_g$ на фронте вытеснения нефти водой $x = x_g$, получим уравнение

$$f'(S_g) = f(S_g) / (S_g - S_{ce}). \quad (1.30)$$

59

для нахождения неизвестного значения S_d (см. рис. 5). Из последней формулы следует, что значение водонасыщенности S_d на фронте вытеснения x_d нефти водой легко определяется графически как координата точки касания $(S_d, f(S_d))$ касательной к кривой $f(s)$ (1.27), проходящей через точку $(S_{cd}, 0)$ (см. рис. 7).

При графическом определении распределения водонасыщенности S для различных x на линии распределения водонасыщенности S для различных x на участке $0 \leq x \leq x_d$ (см. рис. 5) точно так же необходимо воспользоваться графиком функции $f(s)$ и функциональными зависимостями (1.27)-(1.29).

При нахождении времени $t = \bar{t}$ бессводной добычи нефти также воспользуемся формулой (1.28). К этому времени фронт вытеснения нефти водой продвинется до конца прямолинейного пласта $x = x_d = \ell$, где будет закачено $Q_d(\bar{t})$ - количество воды. При местном водонапорном режиме также из будет количество добываемой нефти. Поэтому из формулы (1.28) имеем

$$Q_n(\bar{t}) = Q_d(\bar{t}) = m\delta h / f'(S_d).$$

При известных значениях параметров пласта, водонасыщенности S_d и дебита замачиваемой воды по этой формуле определяется время бессводной добычи нефти \bar{t} .

Бессводная нефтедобыча $\eta(\bar{t})$ вычисляется по формуле

$$\eta(\bar{t}) = \frac{Q_n(\bar{t}) \gamma}{(1-S_{cd}) V_n} = \frac{\gamma}{(1-S_{cd}) f'(S_d)}, \quad (1.31)$$

где $V_n = m\delta h l$ - объем пор пласта, $\gamma = h/h_0$ - коэффициент охвата заводнением (h_0 - общая нефтенасыщенный толщина, h - толщина пласта, охваченная заводнением).

При $t > \bar{t}$ имеет место подный период разработки пласта.

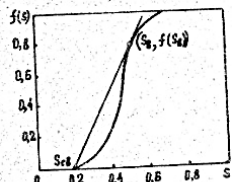


Рис. 7. График зависимости функции $f(s)$ от водонасыщенности S .

В этот период значение водонасыщенности $S = \bar{S}$ на выходе $(x = \ell)$ пласта монотонно растет при $t \rightarrow \infty$, приближаясь к $S = S_d$. С целью определения \bar{S} полезно, что при $t > \bar{t}$ фактический фронт вытеснения x_{fp} распространяется за пределы пласта (см. рис. 5) и в точке его размещения $x = x_{fp}$ как и прежде значение водонасыщенности $S_{fp} = S_d$. Тогда из (1.28) имеем два соотношения

$$\frac{m\delta h}{Q_d(t)} = f'(\bar{S}), \quad \frac{m\delta h}{Q_d(\bar{t})} = f'(S_d).$$

$$\text{Их отношение } \frac{f'(\bar{S})}{f'(S_d)} = \frac{Q_d(\bar{t})}{Q_d(t)} \quad (1.32)$$

по известным значениям $Q_d(\bar{t})$, $f'(S_d)$ и графика зависимости $f'(s)$ от водонасыщенности S (см. рис. 8) позволяет определять \bar{S} для различных $t > \bar{t}$, где $f'(s)$ - производная функции $f(s)$ (1.27).

Заметим, что кривая функции $f'(s)$ характеризует скорость продвижения в пласте поверхности постоянной насыщенности. Из графика следует, что при пренебрежении капиллярными силами она является многозначной функцией. Многозначность этой функции устраняется введением скобочки насыщенности на фронт вытеснения вытесняющей жидкости (\bar{s}) .

Используя \bar{S} в формулу (1.27), получим текущую обобщенную продукцию при $t > \bar{t}$.

$$\varphi(x, t) = \frac{K_n(\bar{S})}{K_d(\bar{t}) + f'_n K_n(\bar{S})/f'_d} \approx f'(\bar{S}). \quad (1.33)$$

При определении текущей нефтедобычи $\eta(t)$ в водный период ($t > \bar{t}$) разработки пласта также воспользуемся формулой (1.28), которую в данном случае считаем справедливой для всех сечений пласта ($0 \leq x \leq \ell$) в фактической области $\ell \leq x \leq x_{fp}(t)$.

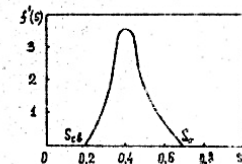


Рис. 8. График зависимости $f'(s)$ от водонасыщенности S .

РЕПОЗИТОРИЙ ГРУНДИ

(см. рис.5). Учитывая, что режим пласта нестационарный, после умножения (I.29) на (I.28) имеем

$$Q_n(t) = Q_0(t) - mbh \chi \left(S - S_{cr} + \frac{1 - f(S)}{f'(S)} \right). \quad (I.34)$$

Отсюда при $x = \ell$, $S = \bar{S}$ получим формулу для расчета объема добитой из пласта нефти и коэффициента текущей нефтедачи при $t > \tau$

$$Q_n(t) = \left(\bar{S} - S_{cr} + \frac{1 - f(\bar{S})}{f'(\bar{S})} \right), \quad \gamma(t) = \frac{Q_n(t) \chi}{V_n(1 - S_{cr})}, \quad (I.35)$$

где $V_n = mbh$ – объем пир пласти, χ – коэффициент охвата залежью.

Непоравненное радиальное вытеснение нефти водой из однородного пласта

Получим вышеизложенные основные технологические показатели разработки применительно к радиальной области $0 < r_c \leq r \leq R$, где r_c – радиус нагнетательной скважины, R – радиус кругового пласта пористости m , «согласованной» проницаемости K , охватываемой залежью по толщине h .

Выбирая кольцеобразную элементарную область продуктивного пласта, ограниченную радиусами r и $r + dr$, при выводе уравнения неравенности учтем баланс стекающей и вытекающей воды за время dt ,

$$2\pi r h v_g dt - 2\pi(r+dr)h(v_g + \frac{\partial v_g}{\partial r} dr)dt = 2\pi r dr h m \frac{\partial S}{\partial t} dt,$$

где S – водонасыщенность, v_g – скорость фильтрации воды.

Отсюда, пренебрегая малым величиной выше первого порядка, получим уравнение неравенности для водной фазы

$$\frac{\partial v_g}{\partial r} + \frac{v_g}{r} + m \frac{\partial S}{\partial t} = 0 \quad \left(\frac{1}{r} \frac{\partial(r v_g)}{\partial r} + m \frac{\partial S}{\partial t} = 0 \right) \dots \quad (I.36)$$

Аналогично для нефтяной фазы ($S_n = 1 - S$) имеем

$$\frac{1}{r} \frac{\partial(r v_n)}{\partial r} - m \frac{\partial S}{\partial t} = 0. \quad (I.37)$$

Из результата сложения этих уравнений получим

$$v_g + v_n = \frac{f(S)}{K},$$

где неизвестная интегрирования $f(S)$ пропорциональна расходу жидкости $q(t) = 2\pi r h (v_g + v_n)$ через сечение $2\pi r h$. Поэтому суммарная скорость фильтрации $v_g + v_n = q(t)/2\pi r h$ и из формулы для обводненности продукции (I.27) имеем

$$v_g = \frac{q(t)}{2\pi r h} f(S), \quad \frac{\partial v_g}{\partial r} = \frac{q(t)}{2\pi h} \left(\frac{f'(S)}{r} \frac{\partial S}{\partial r} - \frac{f(S)}{r^2} \right).$$

Подставив $v_g = \partial v_g / \partial r$ (I.36), получим дифференциальное уравнение в частных производных первого порядка относительно водонасыщенности S

$$\frac{q(t) f'(S)}{2\pi r h} \frac{\partial S}{\partial r} + m \frac{\partial S}{\partial t} = 0,$$

которое также решается методом составления характеристического уравнения для фиксированного $S = const$

$$\frac{2\pi r h}{q(t) f'(S)} dr = \frac{dt}{m}.$$

Полагая для простоты $r_c \rightarrow 0$ при интегрировании последнего уравнения в пределах $r \in [0, r_c]$, $t \in [0, t_f]$, получим (см. (I.28))

$$Q_n(t) = \int_0^t \frac{q(t') dt'}{f'(S)} = \frac{2\pi r h m}{f'(S)}. \quad (I.38)$$

С другой стороны объем внедряемой жидкости $Q_n(t)$ за время t можно вычислить по изменению водонасыщенности $S(r, t)$ в круговом пласте

$$Q_n(t) = \int_0^t 2\pi r h m S(r, t') dr = \frac{2\pi r^2 h m}{f'(S)} t. \quad (I.39)$$

После подстановки из (I.38) $\frac{2\pi r^2 h m}{f'(S)} t = Q_n(t) f'(S)$, в (I.39) и интегрирования (I.39) по частям с учетом того, что $K_n(S_n) = 0$, $f(S_n) = 1$, $f'(S_n) = 0$, вновь получим формулы (I.29), (I.30). Следовательно, и в радиальном случае, значение водонасыщенности $S = S_n$ в фронте вытеснения v_g нефти водой может быть получено с помощью графических зависимостей (см. рис. 7 и 8).

При известных S_{δ} , расходе q и количестве закачанной жидкости $Q_{\delta}(\bar{t})$ до момента $t=\bar{t}$ достижения фронта вытеснения границы кругового пласта $\gamma = \gamma_{\delta} = R$ время безводной разработки \bar{t} определим из формулы (I.36)

$$Q_{\delta}(\bar{t}) = Q_{\delta}(\bar{t}) - \int_0^{\bar{t}} q(t) dt = \frac{\pi}{4} R^2 h m / f'(S_{\delta}). \quad (I.40)$$

Безводная нефтеотдача $\eta(\bar{t})$ вычисляется по формуле (I.31).

При расчете основных технологических показателей в водный период ($t > \bar{t}$) разработки кругового пласта также ведутся построение фронтов $\gamma_{\delta}(t)$ вытеснения нефти водой. Значение водонасыщенности $S = \bar{S}$ на границе пласта $\gamma = R$ при $t > \bar{t}$, текущая обводненность продукции $f(t)$, количество добываемой нефти $Q_n(t)$ и текущая нефтеотдача $\eta(t)$ находятся по формулам (I.32)-(I.35) с помощью графических зависимостей (см. рис. 7 и 8). В формуле (I.35) объем пор пласта V_n в данном случае равен $\pi R^2 h m$.

Заметим, что, исходя из (I.27), расход добываемой нефти и текущая нефтеотдача могут быть вычислены также по формулам

$$q_n(t) = Q_n(t)/(1-f(t)), \quad \eta(t) = \gamma \int_0^t q_n(s) ds / (1-S_{\delta}) V_n.$$

Пример 3. Из нефтяной залежи круговой формы радиуса $R = 169,25$ м, нефтенасыщенной толщиной $h_0 = 16$ м, пористости $m = 0,2$, с изоминимальностью связанный водой $S_{\delta} = 0,2$ путем закачки воды вязкости $f_0 = 1$ м Па·с с расходом $Q = 250$ м³/сут в нагнетательную скважину радиуса $R_n = 0,1$ м, размещенную в центре залежи, вытесняется нефть вязкости $f_n = 5$ м Па·с. Коэффициент охвата пласта заполнением равен $\bar{f} = 0,75$.

По результатам геофизических исследований пласт в пределах нефтенасыщенной зоны однороден по пропицаемости. По данным лабораторных экспериментов вытеснения нефти водой относительные фазовые пропицаемости для нефти $K_n(s)$ и воды $K_g(s)$, зависящие от водонасыщенности s , аппроксимируются функциями (I.23) при $m = n = 2$, $S_{\delta} = 0,75$.

Требуется определить основные технологические показатели разработки круговой залежи: обводненность добываемой продукции

24

и коэффициент текущей нефтеотдачи.

Решение. При определении показателей разработки воспользовались вышеупомянутыми формулами и рис. 6-8, на которых графики зависимостей $K_n(s)$, $K_g(s)$, $f(s)$, $f'(s)$ построены с использованием исходных данных рассматриваемой задачи.

Согласно формуле (I.30), по данным: о точке касания к кривой $f(s)$ и графику зависимости $f'(s)$ находим величины $S_{\delta} = 0,5$, $f(S_{\delta}) = 0,765$, $f'(S_{\delta}) = 2,55$, связанные с водонасыщенностью S_{δ} на фронте γ_{δ} вытеснения нефти водой.

Время безводной эксплуатации залежи вычисляется по формуле (I.40)

$$\bar{t} = \frac{\pi R^2 h m}{q_n f'(S_{\delta})} = \frac{3,14 \cdot 0,75 \cdot 16 \cdot (169,25)^2 \cdot 0,2}{250 \cdot 2,55} = 339 \text{ сут.}$$

Из формулы (I.32)

$$f'(\bar{t}) = f'(S_{\delta}) \frac{\bar{t}}{t} = \frac{2,55 \cdot 339}{\bar{t}} = \frac{864,45}{\bar{t}}$$

и графика зависимости $f'(s)$ (рис. 8) определяется значение водонасыщенности \bar{S} на границе пласта в водный период разработки залежи при любом $t > \bar{t}$.

На рис. 9 приведены результаты расчета обводненности добываемой продукции $f(t) = f(s)$ к текущей нефтеотдаче $\eta(t)$, полученные по формулам (I.23), (I.30)-(I.35) ($V_n = \pi R^2 h_0 m$) и графическими зависимостями (см. рис. 6-8) в различные моменты времени t .

Исходя из (I.38) ($q_n t = \pi R^2 h m / f'(\bar{t})$), формулу (I.35) удобнее использовать в виде

$$\eta(t) = \frac{V_n}{1-S_{\delta}} \left(\frac{q_n t}{V_n} (1 + \bar{S} f'(\bar{t}) - f(\bar{t})) - S_{\delta} \right).$$

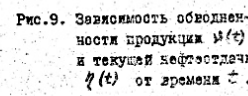


Рис.9. Зависимость обводненности продукции $f(t)$ и текущей нефтеотдачи $\eta(t)$ от времени t .

25

где $V_n = \pi R^2 h m$ – объем пор пласта, охваченного залежью.

Приведенный пример показывает, что даже в случае большого количества прокачанной воды вытеснения нефти может характеризоваться низким значением коэффициента нефтесточки. Это объясняется тем, что полного вытеснения нефти водой не происходит (во фронтом вытеснения имеет место совместная фильтрация нефти и воды с изменяющимися насыщеностями).

2. Моделирование разработки залежей нефти в системе скважин

При сравнительно небольшой неоднородности продуктивного пласта и незначительном изменении его толщины δ основными факторами, определяющими процесс непоршневого вытеснения нефти водой без учета капиллярных и миссона сил, являются давление, о размещении и режим работы добывающих и нагнетательных скважин, вязкости воды M_w и нефти M_n , линии об относительных фазовых проницаемостях породы для нефти и воды (I.23).

С учетом принятых допущений приложение решения задачи об определении основных технологических показателей разработки залежей нефти, скважинствующих произвольно расположенных скважинами с неоднородными дебитами, исходит из предположения о том, что форма линий тока при совместной фильтрации нефти и воды меняется со временем незначительно и приближенно совпадает с линиями тока потенциального течения в одножидкостной системе. При этом форма линий тока на площине насыщенности устанавливается с помощью аналитических решений задач о потенциальном течении жидкости в системе скважин [9], в область течения между скважинами разбивается линиями тока на N трубок тока разных расходов для фильтрующейся жидкости.

Таким образом, решение рассматриваемых задач основано на определении основных характеристик процесса вытеснения нефти водой в отдельной трубке тока переменного сечения при заданном расходе жидкости, которые далее суммируются во времени для получения показателей разработки залежи в целом. При этом ранее полученные формулы для исследования поршневого и непоршневого

26

прямолинейного и радиального вытеснения нефти водой могут быть обобщены при решении аналогичных задач для трубки тока переменного сечения.

Ниже покажем такое обобщение при определении технологических показателей разработки в случае непоршневого вытеснения нефти водой в системе скважин.

Непоршневое вытеснение нефти водой в системе скважин по схеме жестких трубок тока

Пусть недеформируемая трубка тока плюноу L с заданным расходом жидкости $Q(t)$ на входе $t=0$ имеет свою ось линию ℓ ($0 < \ell < L$), которая служит дуговой системой координат. Площадь нормального сечения трубы тока равна $\delta(\ell)$, т.е. является известной функцией ℓ . Следовательно, используемые переменные величины являются функциями только криволинейной координаты ℓ , измеряемой вдоль оси трубы, и времени t .

В начале рассматриваемого процесса трубка тока охватывает часть однородной пористой среды проницаемости K , заполненной однородной жидкостью (нефтью) вязкости M_n . Затем эта нефть вытесняется водой вязкости M_w . Примек, что насыщенность постоянной среды связанный водой постоянна и равна S_{ca} . Жидкости не скрывают и не смешиваются между собой, фильтрация каждой из фаз подчиняется закону Дарси (I.26), где вместо α следует положить ε .

$$U_g = U_g(\ell, t), V_n = V_n(\ell, t), P = P(\ell, t), S = S(\ell, t). \quad (2.1)$$

В процессе вытеснения нефти водой в трубке тока образуются вспомогательные смеси и нефти. При этих допущениях и исходных данных стартовая залежь об исследовании неуставновившейся фильтрации нефти и воды в трубке тока переменного сечения.

Эта задача исследуется аналогично задаче непоршневого прямолинейного вытеснения нефти водой из однородного пласта (I.23). Им отличает лишь то, что в данном случае ℓ является криволинейной координатой, а переменная величина площади нормального сечения трубы тока $\delta(\ell)$ – функцией ℓ .

27

РЕПОЗИТОРИЙ ГРУДИ

Умножив (1.26) с учетом (2.1) на $\delta(\ell)$, получим соотношение для расходов воды $q_e(\ell, t)$ и нефти $q_n(\ell, t)$ в зоне водонефтяной смеси

$$q_e = q_e \delta(\ell) = -\frac{K K_e}{f_e} \frac{\partial P}{\partial \ell} \delta(\ell), \quad q_n = q_n \delta(\ell) = -\frac{K K_n}{f_n} \frac{\partial P}{\partial \ell} \delta(\ell). \quad (2.2)$$

Уравнения, аналогичные уравнениям (1.24), (1.25), в данном случае запишутся в виде

$$\frac{\partial q_e}{\partial t} + m \delta(\ell) \frac{\partial S}{\partial t} = 0, \quad \frac{\partial q_n}{\partial \ell} - m \delta(\ell) \frac{\partial S}{\partial \ell} = 0.$$

Складывая их и используя (1.27), имеем

$$q_e(\ell, t) + q_n(\ell, t) = q(t), \quad q_e(\ell, t) = q(t) f(s), \\ \frac{\partial q_e}{\partial \ell} = q(t) f'(s) \frac{\partial S}{\partial \ell}, \quad q(t) f'(s) \frac{\partial S}{\partial \ell} + m \delta(\ell) \frac{\partial S}{\partial \ell} = 0. \quad (2.3)$$

Интегрируя вспомогательную систему $\frac{d\ell}{q(t) f'(s)} + \frac{dt}{m \delta(\ell)} = 0$ (при фиксированном значении водонасыщенности $S = \text{const}$ на перемещающейся точке с координатой ℓ) для последующего дифференциального уравнения в частных производных, получим связь

$$q_e(t) = V(t)/s'(s) \quad (2.4)$$

между закачиваемым объемом воды $q_e(\ell) = \int_0^t q_e(t) dt$ за время t и объемом пор $V(t) = m \int_0^t \delta(t) dt$ в трубке тока за сечением с координатой ℓ .

Такое же количество внедрившейся водой можно вычислить по формуле

$$q_e(t) = m \int_0^t s(\ell, t) \delta(\ell) d\ell - s_{cs} V(t),$$

где s_{cs} – насыщенность пласта в трубке тока связанный водой. Сравнивая эти формулы, получим соотношение

$$\frac{1}{s'(s)} = \frac{m}{V(t)} \int_0^t s(\ell, t) \delta(\ell) d\ell - s_{cs}, \quad (2.5)$$

используемое при нахождении положения точки ℓ с водонасыщенностью $S = \text{const}$.

28

Учитывая $V(t) = Q_e(t) \delta'(s)$, $V(t) = m \int_0^t \delta(t) dt$, $dV(t) = Q_e(t) \delta'(s) ds = m \delta(t) dt$ при преобразовании соотношения (2.5) к уравнению для нахождения неизвестных значений водонасыщенности S , получим адекватное повторение выхода и содержания формул (1.29), (1.30).

При вычислении времени $t = \bar{t}$ безводной добычи нефти из трубы тока также воспользуемся формулой вида (1.28), т.е. формулой (2.4). Из этой формулы при $\ell = \ell_0 = L$ и с учетом того, что режим разработки пласта является жестким водонасыщенным, получим соотношение для вычисления \bar{t}

$$Q_n(\bar{t}) = Q_e(\bar{t}) = \frac{m}{f'(s_0)} \int_0^L \delta(\ell) d\ell = \int_0^{\bar{t}} q(t) dt,$$

где значение водонасыщенности s_0 на фронте вытеснения ℓ_0 находится графическим путем, используя зависимости $f(s)$ и $f'(s)$ (см. случай прямолинейного вытеснения).

По известным значениям исходных данных и времени \bar{t} безводная нефтеотдача вычисляется по формуле (1.31), где

$$V_n = m \int_0^{\bar{t}} \delta(t) dt.$$

При видном периоде ($t < \bar{t}$) добычи нефти из трубы тока также используется формулы (1.32), (1.33), (1.35).

Таким образом, в безводный период ($t < \bar{t}$) добычи нефти обводненность (фильтрационного потока в любом сечении трубы то-ка с координатой ℓ ($0 < \ell < L$) вычисляется по формуле

$$\delta(\ell, t) = \frac{q_e}{q_e + q_n} = \frac{K_e(s)}{K_e(s) + K_n(s) / f'_n} = f(s). \quad (2.6)$$

Обводненность добываемой продукции при $t > \bar{t}$ также находится по этой формуле, только вместо ℓ и s соответственно следует положить L и \bar{s} , где \bar{s} – значение водонасыщенности S на выходе из трубы тока ($\ell = L$) при $t > \bar{t}$.

Безводная нефтеотдача вычисляется по формуле

$$\gamma(\bar{t}) = \gamma / f'(s_0)(1 - s_{cs}), \quad (2.7)$$

где $\gamma = h/h_0$ – коэффициент охвата пласта водой (h_0 – общая нефтенасыщенная толщина, h – толщина пласта, охваченная завод-

29

нением).

В водный период ($t > \bar{t}$) объем добитой из трубы тока нефти и текущий коэффициент нефтеотдачи вычисляются по формулам

$$Q_n(t) = V_n \left(\bar{s} - s_{ct} + \frac{1 - f(\bar{s})}{f'(\bar{s})} \right), \quad f(t) = \frac{\gamma Q_n(t)}{V_n (1 - s_{ct})}, \quad V_n = m \int_0^L b(\ell) d\ell. \quad (2.6)$$

По перечисленным формулам определяются основные характеристики процесса вытеснения нефти водой по отдельным трубкам тока, которые затем суммируются во времени для получения показателя разработки пласта в системе скважин во всей области течения в целом.

С учетом отдельных небольшозернистых исключений формулы могут быть использованы и в том случае, когда наступает переход пластового давления $\Delta P = P_n - P_g$ между нефтетательной и доизыщущей скважинами, т.е. задается ΔP на концах трубок тока.

Из (2.2), (2.3) имеем

$$\frac{\partial p}{\partial z} = - \frac{M_n q_n}{K K_n \sigma(z)} = - \frac{P_g q_n(z) f(z)}{K K_n \sigma(z)}.$$

Интегрируя это уравнение по области, занятой смесью двух жидкостей (нефть, вода), получим переход давления

$$P_n - P_g = \frac{q_n(z) M_n}{K} \int_0^z \frac{f(s) ds}{K_n \sigma(s)}$$

между входным сечением ($z=0$) ($p = P_n$) и фронтом вытеснения $\delta = \delta_g$ ($P = P_g$).

Если интегрировать по области, занятой только нефтью, то имеем

$$P_n - P_g = \frac{q_n(z) M_n}{K} \int_0^L \frac{b(\ell) d\ell}{\sigma(\ell)}$$

Складывая эти выражения, получим применительно к каждой трубке тока искому связь между переходом давления

$$\Delta P = P_n - P_g = \frac{q_n(z)}{K} \left(M_n \int_0^L \frac{f(s) ds}{K_n \sigma(s)} + M_w \int_0^L \frac{b(\ell) d\ell}{\sigma(\ell)} \right) \quad (2.7)$$

30

и суммарным расходом жидкости в безводный период ($t < \bar{t}$), а также в водный период ($t > \bar{t}$)

$$\Delta P = \frac{q_n(z)}{K} \int_0^L \frac{f(s) ds}{K_n \sigma(s)}. \quad (2.10)$$

разработки залежи нефти. Используя этот связь и ранее полученные формулами, можно исследовать динамику расхода жидкости $q_n(z)$, нефти q_n , воды q_w , как до промыва, так и в водный период эксплуатации скважин.

Пример 4. Нефтяная залежь платформенного типа разрабатывается методом пластового залеживания (по схеме пятиточечного размещения нагнетательных и добывающих скважин). Расстояние между скважинами в ряду 2a и между рядами одиночных скважин 2d одинаковы и равны 800 м. Нефтенасыщенная толщина M_n и толщина пласта L , охваченная залежанием, также одинаковы и равны 1 м. При заложении коррекции пластового давления $\Delta P = 10^7$ Па между нагнетательной и добывающей скважинами радиуса $R_n = 0.1$ м имеет с вязкостью $M_n = 10^{-2}$ дж/с вытесняется из пласта водой с вязкостью $M_w = 10^{-3}$ дж/с. Продуктивный пласт пористости $M = 0.35$ и насыщенности связанным водой $S_{ct} = 0.2$ имеет постоянную проницаемость $K = 10^{-13}$ м². Относительные фазовые проницаемости для нефти $K_n(s)$ и воды $K_w(s)$, зависящие от всасываемости s , определяются формулами (1.23) при $M = 1$, $S_{ct} = 0.75$.

Требуется исследовать изменение расхода жидкости, нефти и воды в процессе эксплуатации залежи.

Решение. Построим линии тока в предположении, что фильтрующие скважины имеют одинаковую форму (2.6), разобъем общий течений по трубкам тока, считавши линии тока симметричными относительно проницаемости для нефти $K_n(s)$ и воды $K_w(s)$, зависящими от всасываемости s (см. рис. 1.2).

При выполнении расчета первый элемент разбивается на две трубки тока с одинаковым расходом пластического потока в единицу времени и одинаковыми между расходом и переходом залежания (см. формулы (2.5), (2.10)).

Некоторые особенности расчета в одиночных скважинах формулируются в

31

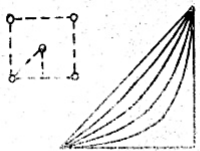


Рис.16. Элемент области фильтрации при пятиточечной системе размещения скважин

результате расчетов, т.е. исходные зависимости расходов жидкости, газа и нефти от времени разработки залежи в безводный и водный периоды эксплуатации добывающих скважин, представлены на рис. II в виде соответствующих графиков. Из этих зависимостей следует, что безводный период эксплуатации залежи имеет место первые 3,5 года, далее из скважин добывается как нефть, так и вода. По этим же зависимостям можно установить время рациональной разработки залежи нефти вплоть до достижения запланированного значимого содержания воды в добываемой продукции.

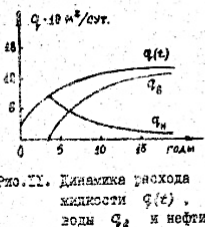


Рис.17. Динамика расхода жидкости $q(t)$, годы q_n и нефти q_o .

Литература

1. Борисов Ю.Н., Рябинина З.К., Вонсов В.И. Особенности проектирования разработки нефтяных месторождений с учетом их неоднородности. - М.: Недра, 1976. - 287 с.

2. Гуревич А.Е. Практическое руководство по изучению движения подземных вод при высоких полезных ископаемых. - Л.: Наука, 1980. - 216 с.

3. Желтог К.И. Разработка нефтяных месторождений. - М.: Недра, 1986. - 333 с.

4. Желтог К.И., Стриков И.И., Золотухин А.Б., Загвяз В.И. Сборник задач по разработке нефтяных месторождений. - М.: Недра, - 296 с.

5. Новейшие эффективности разработки месторождений Западной Сибири на основе ускоренного внедрения достижений научно-технического прогресса (Материалы Всесоюзного совещания, проведенного в Тюмени 20-23 апреля 1986 г.). - М.: ПЕНИОНТ, 1986, 172 с.

6. Проектирование разработки нефтяных месторождений. Принципы и методы / А.Л.Крамов, Н.И.Беляш, Ю.П.Борисов и др. Гос. гипротехиздат.-М., 1982, 430 с.

7. Справочное руководство по проектированию разработки и эксплуатации нефтяных месторождений. Проектирование разработки. Под ред. Ш.К.Рынгутдинова. - М.: Недра, 1983. - 464 с.

8. Сургучев И.Н. Методы контроля и регулирования процессов разработки нефтяных месторождений. - М.: Недра, 1968, 300 с.

9. Шагнуров А.В. Гидродинамика нефтяного трехмерного пласта. - М.: Недра, 1980. - 224 с.

СОДЕРЖАНИЕ

Предисловие.....	3
1. Моделирование исходных данных и процессов фильтрации.....	4
Поршневое прямолинейное вытеснение нефти водой из слоисто-неоднородного пласта.....	4
Поршневое радиальное вытеснение нефти водой из слоисто-неоднородного пласта.....	14
Непоршневое прямолинейное вытеснение нефти водой из однородного пласта.....	16
Непоршневое радиальное вытеснение нефти водой из однородного пласта.....	22
2. Моделирование разработки залежей нефти в системе скважин.....	26
Непоршневое вытеснение нефти водой в системе скважин по схеме жестких трубок тока.....	27
Литература.....	33

Набиулратов Рафат Бафавич

Учебно-методическая разработка к курсу "Математическое моделирование вытеснения нефти водой при эксплуатации нефтяных месторождений" для студентов геологического факультета

Ответственный за выпуск Р.В. Набиулратов

Подписано в печати 08.06.88. Формат 60x84 1/16. Бумага
писчая № 1. Печать офсетная. Усл.п.л. 2,0. Уч.-изд. л. 1,8.
Тираж 200. Цена 10/- Бесплатно.

Отпечатано на ротационной ПТУ, г.Гомель, ул.Советская, 104.

РЕПОЗИТОРИЙ ГГУ ИМ. А.А. КУДРЯВЦЕВА